

بررسی تنوع ژنتیکی اکوتیپ‌های مریم نخودی (*Teucrium polium*) با استفاده از نشانگر مولکولی ISSR

سعید اسفندیاری^۱، محسن فرشادفر^{۲*}، هوشمند صفری^۳، هومن شیروانی^۴ و صادق اسفندیاری^۵

۱- کارشناس ارشد اصلاح نباتات دانشگاه آزاد اسلامی واحد کرمانشاه

۲- دانشیار گروه کشاورزی دانشگاه پیام نور، پست الکترونیک: (farshadfarmohsen@yahoo.com)

۳- عضو هیات علمی بخش تحقیقات جنگل‌ها و مراتع، مرکز تحقیقات و آموزش کشاورزی و منابع طبیعی استان کرمانشاه، سازمان تحقیقات، آموزش و ترویج کشاورزی، کرمانشاه، ایران.

۴- مدرس گروه کشاورزی دانشگاه پیام نور

۵- کارشناس ارشد بخش تحقیقات جنگل‌ها و مراتع، مرکز تحقیقات و آموزش کشاورزی و منابع طبیعی استان کرمانشاه، سازمان تحقیقات، آموزش و ترویج کشاورزی، کرمانشاه، ایران.

تاریخ دریافت: ۱۳۹۵/۰۳/۰۱

تاریخ پذیرش: ۱۳۹۵/۰۸/۰۱

چکیده

مریم نخودی گیاهی است از خانواده نعناعیان و کاربرد وسیعی در صنعت داروسازی دارد. تنوع ژنتیکی ۱۷ اکوتیپ مریم نخودی جمع آوری شده از سراسر استان کرمانشاه با استفاده از نشانگر مولکولی ISSR مورد بررسی قرار گرفت. از ۱۵ آغازگر ISSR استفاده شد که از میان آنها ۱۲ عدد دارای نوارهای قابل امتیازدهی بودند. آغازگرهای ISSR در مجموع توانستند ۸۲ نوار تولید کنند، که ۸۰ باند چند شکل مشاهده شد. میانگین تعداد نوار تولید شده توسط هر آغازگر برای ۱۷ اکوتیپ برابر ۶/۸۳ بود. آغازگر_۶ IS₆ بیشترین تعداد نوار (۱۲ نوار) و آغازگر_۳ IS₃ کمترین تعداد نوار (۴ نوار) را نشان دادند. نشانگر ISSR در بین اکوتیپ‌ها چندشکلی مطلوبی نشان داد و تمام آغازگرهای برای بررسی‌های گونه مریم نخودی مناسب بودند. نتایج نشان داد که اکوتیپ G1 (صحنه) بیشترین فاصله ژنتیکی را با اکوتوتیپ‌های G12 (صحنه)، G7 (گیلان غرب)، G13 (ثلاث) و G8 (دلاه) داشت. گروه‌بندی حاصل از تجزیه خوش‌های نشان داد که اکوتوتیپ‌ها در چهار گروه قرار گرفته و تنوع ژنتیکی با تنوع جغرافیایی تطابق نداشت. همچنین نتایج حاصل از گروه‌بندی با استفاده از تجزیه واریانس مولکولی (AMOVA) و تجزیه به مختصات اصلی (PCo) تأیید شد.

واژه‌های کلیدی: مریم نخودی، تجزیه خوش‌های، تجزیه واریانس مولکولی، تجزیه به مختصات اصلی

در عین حال مواد اولیه در آنها در صنعت داروسازی استفاده می‌شد. توجه به گیاهان دارویی که بخش عمده‌ای از طب سنتی ایران را تشکیل می‌دهد و ارائه اطلاعات

مقدمه

طی سالیان متعددی داروهای طبیعی به‌ویژه گیاهان دارویی، در برخی موارد تنها راه درمان محسوب می‌شد و

شنانگر ISSR مانند RAPD یک نشانگر غالب است، اما نسبت به آن تکثیرپذیری و تنوع پذیری بالایی داشته، سریع بوده و روشی آسان است. نشانگر ISSR الگوی نشانگری پیچیده‌تری نسبت به RAPD تولید می‌کند، که برای تعیین خصوصیات نزادهای بانک ژن و تشخیص Archak *et al.*, (2003) ارقام نسبتاً خویشاوند استفاده می‌شود (Archak *et al.*, 2003). این تکنیک به طراحی آغازگر نیاز ندارد و میزان چندشکلی بیشتر و آشکارسازی راحت‌تری نسبت به Terzopoulos & Diégrem نشانگرهای مولکولی دارد (Terzopoulos & Bebeli, 2008). در مطالعه تنوع ژنتیکی برخی از جمعیت‌های کلپوره (*Teucrium polium*) ایران با استفاده از نشانگر مولکولی RAPD تنوع مطلوبی در بین جمعیت‌های مورد بررسی مشاهده شد، همچنین کارایی نشانگر RAPD در تفکیک جمعیت‌ها از یکدیگر زیاد گزارش شد، به صورتی که تنوع ژنتیکی با تنوع جغرافیایی تا حدودی تطبیق داشت (Pesaraklu *et al.*, 2013). هدف از این تحقیق، بررسی تنوع ژنتیکی بین اکوتیپ‌های مریم نخودی با استفاده از نشانگر ISSR و تطابق تنوع ژنتیکی به دست آمده با پراکنش جغرافیایی اکوتوپ‌ها در راستای بهبود ذخایر ژنتیکی کشور می‌باشد.

مواد و روش‌ها

در تحقیق انجام شده ۱۷ اکوتوپ از گیاه دارویی مریم نخودی (*Teucrium polium*) جمع‌آوری شده از استان کرمانشاه توسط محققان بخش تحقیقات منابع طبیعی مرکز تحقیقات کشاورزی و منابع طبیعی استان کرمانشاه به منظور استخراج DNA در گلدان کشت شد (جدول ۱). استخراج DNA به روش Torres و همکاران (1993) برای هر اکوتوپ در آزمایشگاه بیوتکنولوژی دانشگاه پیام نور مرکز کرمانشاه انجام شد. بعد از انتقال ۲۰ تا ۵۰ میلی‌گرم نمونه خرد شده با ازت مایع به لوله، ۸۰۰ میکرولیتر از بافر استخراج (۴ گرم CTAB، ۱۶/۳۶ Tris-HCl، ۱/۴۸ EDTA، ۰/۱۵ NaCl میکرولیتر ۳/۱۵ mercaptoethanol pH=۸ با β -mercaptoethanol به لوله‌ها

درست و علمی درباره پرورش و نگهداری و استفاده از آنها بر پایه یافته‌های جدید روز به روز اهمیت ویژه‌ای می‌یابد. از جنس مریم نخودی تاکنون بیش از ۳۴۰ گونه شناسایی شده است. در ایران ۱۲ گونه و در استان *T. polium*, *T. oriental*, *T. oliverianum*, *T. parvifolium* دارد. بیش از ۲۰۰۰ سال است گونه‌های مختلف *Teucrium* گیاه دارویی شناخته شده که از آن به عنوان ضد تشنج، ضد التهاب، ضد درد، تب بر و التیام دهنگی زخم استفاده می‌شود (Pacifico *et al.*, 2012). بررسی و تحلیل تنوع ژنتیکی در ذخایر تواری موجود از مهمترین مراحل پژوهش‌های به نزادی است که امکان گروه‌بندی و توصیف دقیق نمونه‌ها را فراهم آورده و به نزاد گرها را در تشخیص زیر مجموعه‌ها و نمونه‌هایی که امکان استفاده مؤثر آنها در برنامه‌های اصلاحی آینده وجود دارد، یاری می‌کند (Mohammadi & Prasanna, 2003). نشانگرهای مولکولی ابزارهای مفید و قوی در ارزیابی روابط خویشاوندی، انتخاب گیاهان برتر و بررسی شباهت یا تفاوت بین نمونه‌های مختلف می‌باشند. نشانگرهای مولکولی وابسته به DNA کمتر تحت تأثیر شرایط محیط قرار می‌گیرند (Chawla, 2000). نشانگرهای مبتنی بر DNA توانسته است بسیاری از مشکلات مربوط به نشانگرهای مورفو‌لوژیکی و بیوشیمیایی را برطرف کنند (Shokrpour *et al.*, 2008). تووالی‌های بین ریزماهواره (ISSR, Inter Simple Sequence Repeat) نشانگرهای مولکولی نیمه تصادفی Hستند که نسبت به نشانگر RAPD (Amplified Polymorphic DNA) کارآمدتر می‌باشد (Sicard *et al.*, 2005). تکثیر در این نشانگر در حضور یک آغازگر مکمل با تووالی‌های ریز ماهواره (SSR) هدف انجام می‌شود. از Simple Sequence Repeat این نشانگر به منظور تکثیر قطعه‌ای از DNA بین دو ریز ماهواره که در ژنوتیپ یک گونه در حالت عکس یکدیگر قرار گرفته‌اند، استفاده می‌شود (Surve *et al.*, 1995).

آغازگر ۳۰ ثانیه و دمای آن برای هر آغازگر متفاوت بود. همچنین زمان و دمای توسعه رشته نیز به ترتیب ۶۰ ثانیه و ۷۲ درجه سانتی گراد بود. توسعه نهایی به مدت ۵ دقیقه در دمای ۷۲ درجه سانتی گراد انجام شد. در این آزمایش از ژل آگارز دو درصد با بافر واکنش TBE یک درصد استفاده شد. به منظور تزریق نمونه در ژل، ابتدا میزان پنج میکرولیتر بافر نمونه گذاری به DNAهای تکثیر شده اضافه و بعد میزان ۱۰ میکرولیتر از هر نمونه به درون چاهک‌های ایجاد شده در ژل آگارز بارگذاری و با ولتاژ ۱۰۰ و میزان ۲/۵ ساعت حرکت انجام گردید و بعد ژل را برای رنگ آمیزی در محلول اتیدیوم بر ماید (یک میکروگرم در میکرولیتر) به مدت ۳۰-۴۵ دقیقه قرار داده و از دستگاه Gel Document برای نمایان شدن نوارها استفاده شد. محتوای اطلاعات چند شکلی (PIC^۱) از طریق فرمول $PIC = 1 - \sum^n PI^2$ محاسبه شد (Hou *et al.*, 2005).

همچنین شاخص نشانگری (MI^۲) از رابطه $E = \frac{MI}{PIC}$ به دست آمد (Powell *et al.*, 1996). شاخص نسبت EMR= NPB × چندگانه مؤثر (EMR^۴) از رابطه $EMR = \frac{NPB}{IB}$ (Kumar *et al.*, 2009) و قدرت تفکیک (RP^۵) از رابطه $RP = \frac{IB}{DARwin\ 6\ Ntsys}$ (Altintas *et al.*, 2008). در پایان نیز با استفاده از نرم‌افزارهای GenAlEx 6.2 و MatriX ۳-۴ مختصات اصلی و تجزیه واریانس مولکولی انجام شد.

اضافه شد و به مدت یک ساعت نمونه‌ها در حمام آب گرم با دمای ۶۵°C قرار داده شدند. سپس به هر نمونه مقدار ۸۰۰ میکرولیتر محلول کلروفرم-ایزوآمیل الکل (۲۴:۱) اضافه گردید و به مدت دو دقیقه بهم زده شد تا محلول داخل لوله یکنواخت شود. سپس نمونه‌ها را به مدت ۱۰ دقیقه با ۱۳۰۰۰ دور در دقیقه، سانتریفیوژ و فاز رویی به یک لوله تمیز منتقل شد و به هر لوله مقدار ۶۰۰ میکرولیتر محلول ایزوپروپانول سرد اضافه و به مدت یک ساعت در فریزر در دمای ۲۰°C قرارداده شدند. سپس نمونه‌ها به مدت ۱۵ دقیقه با ۱۳۰۰۰ دور در دقیقه سانتریفیوژ شد و بعد از آن فاز مایع به آرامی خالی و به هر لوله مقدار ۶۰۰ میکرولیتر اتانول ۸۰٪ سرد اضافه و یک سانتریفیوژ کوتاه مدت و به آرامی فاز مایع خالی شد (این مرحله باید دو بار تکرار شود). در پایان نیز لوله‌ها را در دمای اتاق قرار داده تا خشک شوند و بعد به هر لوله میزان ۱۰۰ میکرولیتر آب دو بار تقطیر استریل اضافه شد.

بررسی کیفیت و کمیت DNA استخراج شده با استفاده از ژل ۰/۸ درصد آگارز و دستگاه اسپکتکتوفوتومتر انجام شد. واکنش زنجیره‌ای پلیمراز (جدول ۲) شامل چرخه حرارتی با یک مرحله واسرشت‌سازی اولیه در دمای ۹۵ درجه سانتی گراد و به مدت ۵ دقیقه و ۳۵ چرخه حرارتی بود که در هر چرخه نیز، زمان و دمای واسرشت‌سازی به ترتیب ۳۰ ثانیه و ۹۵ درجه سانتی گراد، زمان اتصال

1- Polymorphic information content

2- Marker Index

3- Effective multiplex ratio

4 - Resolving power

جدول ۱- مشخصات اکوتیپ‌های مورد استفاده در تحقیق

ردیف	منطقه جمع آوری	عرض جغرافیایی	طول جغرافیایی	ارتفاع از سطح دریا				
G1	صحنه-مله نمازگاه	۶۴	۲۹	۲۴	۵۱	۴۱	۴۷	۱۷۵۰
G2	سرپل-گنجوره	۶۰	۱۵	۲۴	۰۰	۳۱	۴۶	۶۰۰
G3	سومار-سد گنگیر	۱۸	۵۷	۲۲	۳۲	۵۴	۴۵	۵۵۰
G4	روانسر-ویس	۱۲	۲۱	۲۴	۲۲	۵۱	۴۶	۱۷۵۰
G5	سرپل-ارتفاعات دلاهو(تازه آباد)	۶۳	۳۶	۲۴	۱۱	۰۲	۴۶	۱۸۰۰
G6	سرپل-ماراب	۰۸	۲۵	۲۴	۲۷	۰۰	۴۶	۸۷۰
G7	گیلان غرب-سه راهی ایلام	۵۸	۵۷	۲۲	۲۱	۱۸	۴۶	۱۴۵۰
G8	دلاهو-هوروه رو	۴۹	۱۱	۲۴	۲۶	۱۰	۴۶	۱۷۰۰
G9	دلاهو-مله گهواره(سه راه)	۴۹	۱۱	۲۴	۲۶	۱۰	۴۶	۱۷۰۰
G10	نفت شهر-گدم بان	۴۹	۲۱	۲۴	۳۱	۳۶	۴۵	۳۶۵
G11	دلاهو-ناوتیگ	۶۷	۱۷	۲۴	۷۰	۱۲	۴۶	۱۵۷۰
G12	صحنه-کلکان نسار	۲۹	۴۷	۲۴	۵۰	۰۸	۴۷	۱۷۲۰
G13	ثلاث-ازگله	۳۶	۴۵	۲۴	۹۵	۰۴	۴۶	۱۲۰۰
G14	گیلان غرب-دشت دیره	۰۱	۲۳	۲۴	۰۸	۵۰	۴۵	۶۵۰
G15	اسلام آباد-هفت آشیان	۳۱	۲۱	۲۴	۳۹	۳۳	۴۶	۱۷۰۰
G16	روانسر-خرابیان	۳۳	۴۷	۲۴	۱۵	۴۳	۴۶	۱۵۵۰
G17	ثلاث-مله سیاه طاهر	۲۹	۴۵	۲۴	۰۰	۱۲	۴۶	۱۳۶۱

جدول ۲- اجزا و اکتش ISSR بهینه سازی شده

اجزا یک نمونه	برای تهیه ۲۰ میکرولیتر
آب دوبار تقطیر	۱۲/۳
بافر (PCR x10)	۲
(MgCl ₂ ۵۰ میلی مولار)	۱/۵
مخلوط نوکلئوتیدی (۱۰ میلی مولار)	۰/۴
آغازگر (۱۰ میکرومولار)	۱/۵
Taq پلیمراز (۵ واحد در میکرولیتر)	۰/۳
DNA	۲
جمع	۲۰

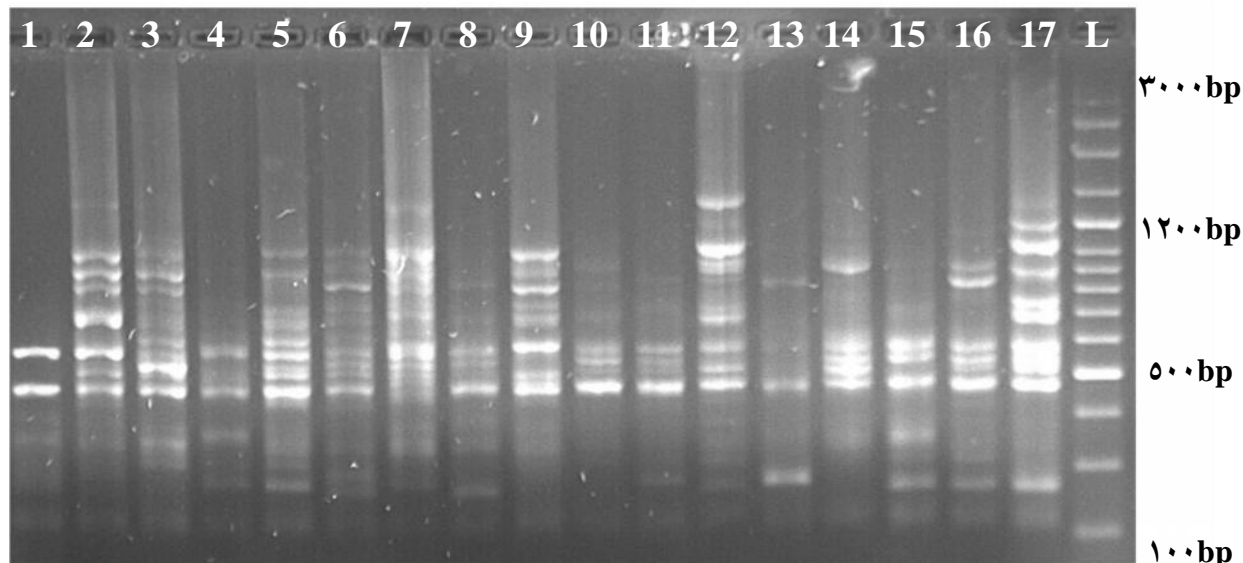
چند شکل بودند. میانگین تعداد نوار تولید شده توسط هر آغازگر برای ۱۷ اکوتیپ برابر ۶/۸۳ بود. آغازگر IS₆ بیشترین تعداد نوار (تعداد ۱۲ نوار) و آغازگر IS₃ کمترین تعداد نوار (تعداد ۴ نوار) را نشان دادند. اکوتیپ G2

نتایج
پیرو بررسی تنوع ژنتیکی اکوتیپ‌های مورد مطالعه با استفاده از ۱۲ آغازگر ISSR، در مجموع ۸۲ نوار تولید شد که از این تعداد دو نوار یک شکل مشاهده شد و ۸۰ نوار

بهتر از سایر آغازگرها بر اساس شاخص PIC توانستند فاصله ژنتیکی اکوتیپ‌ها را مشخص کنند. آغازگر IS_{10} و IS_5 با کمترین میزان PIC (به ترتیب $0/330$ و $0/328$) توانایی خوبی در جداسازی اکوتیپ‌ها نداشتند. در مورد شاخص نشانگر (MI) آغازگرها IS_5 و IS_3 به ترتیب بیشترین میزان و آغازگرها IS_{14} و IS_3 دارای کمترین میزان شاخص نشانگر بودند. برای شاخص نسبت چندگانه مؤثر (EMR) آغازگرها IS_6 و IS_5 بیشترین و آغازگر IS_3 کمترین میزان را به خود اختصاص دادند. در شاخص تفکیک (RP) نیز آغازگرها IS_5 و IS_6 بیشترین میزان و آغازگرها IS_9 و IS_{14} کمترین میزان شاخص را داشتند. آغازگرها IS_9 , IS_{10} , IS_{11} و IS_{14} با کمترین میزان، توانایی خوبی در جداسازی اکوتیپ‌ها نداشتند. البته دیگر آغازگرها در حد متوسط بودند.

بیشترین نوار (۵۹ نوار) و اکوتیپ G1 کمترین نوار (۱۴ نوار) را در بین اکوتیپ‌های مورد بررسی داشتند. شکل ۱ الگوی نواری ۱۷ اکوتیپ مورد بررسی با استفاده از آغازگر IS_{13} را نشان می‌دهد. نتایج به دست آمده برای آغازگرها استفاده شده در جدول سه ارائه شده است. میانگین درصد چند شکلی در بین اکوتیپ‌های مورد بررسی برابر $98/12$ بود که کمترین درصد چند شکلی را آغازگرها IS_{11} داشتن $91/91\%$ و IS_5 دیگر آغازگرها با داشتن 100% چند شکلی دارای بیشترین درصد چند شکلی بودند.

میانگین محتوای اطلاعات چند شکلی (PIC) در آغازگرها مورد بررسی برابر $0/372$ بود که بیشترین میزان محتوای اطلاعات چند شکلی (PIC) مربوط به آغازگرها IS_7 , IS_3 و IS_{12} به ترتیب به میزان $0/403$, $0/420$ و $0/405$ اختصاص داشت، بنابراین این آغازگرها



شکل ۱- الگوی باندی ۱۷ اکوتیپ مورد بررسی با استفاده از آغازگر IS_{13}

جدول ۳- آغازگرهای ISSR مورد استفاده و شاخص‌های محاسبه شده

نام آغازگر	توالی آغازگر	تعداد مکان‌های تکثیر شده	تعداد مکان‌های چند	درصد چند	محتوای اطلاعات چند	شاخص نشانگری	نسبت چندگانه مؤثر	قدرت تفکیک
	Primer Sequence							
IS ₃	5'- GAGAGAGAGAGAGAYC-3'	۴	۴	۱۰۰	۰/۴۵۳	۱/۸۱۳	۴	RP
IS ₅	5'- AG AG AG AG AG AG AG AGC-3'	۱۱	۱۰	۹۰/۹۱	۰/۳۲۸	۳/۳۸۴	۹/۰۹۱	EMR
IS ₆	5'-ACACACACACACACACC-3'	۱۲	۱۲	۱۰۰	۰/۳۷۹	۴/۵۵۱	۱۲	
IS ₇	5' GTGTGTGTGTGTGTGTC 3'	۵	۵	۱۰۰	۰/۴۲۱	۲/۱۰۳	۵	
IS ₉	5'- CT CT CT CT CT CT CT CTG-3'	۶	۶	۱۰۰	۰/۳۴۶	۲/۰۷۶	۶	
IS ₁₀	5'- GA GA GA GA GA GA GA GA GA Rc-3'	۷	۷	۱۰۰	۰/۳۱۸	۲/۲۲۸	۷	
IS ₁₁	5'-ACACACACACACACACC-3'	۸	۷	۸۷/۵	۰/۳۲۰	۲/۳۱۳	۶/۱۲۵	۷/۴۱۱
IS ₁₂	5'-TGTGTGTGTGTGTGG-3'	۶	۶	۱۰۰	۰/۴۰۶	۲/۴۳۵	۶	
IS ₁₃	5'- AG AG AG AG AG AG AG AG YT-3'	۵	۵	۱۰۰	۰/۳۸۸	۱/۹۳۷	۵	
IS ₁₄	5'- GACA GACA GACA GACA-3'	۵	۵	۱۰۰	۰/۳۶۸	۱/۸۴۰	۵	
IS ₁₅	5'- GGATGGATGGATGGAT-3'	۶	۶	۱۰۰	۰/۳۴۱	۲/۰۴۸	۶	
IS ₁₆	5'-DBDACACACACACACACA-3'	۷	۷	۱۰۰	۰/۳۹۰	۲/۷۲۶	۷	
میانگین		۶/۸۳	۶/۶۷	۹۸/۲۰	۰/۳۷۲	۲/۴۵۵	۶/۵۱۸	۵/۱۰۷

Y=(C,T), V=(A,C,G), D=(A,G,T), B=(C,G,T)

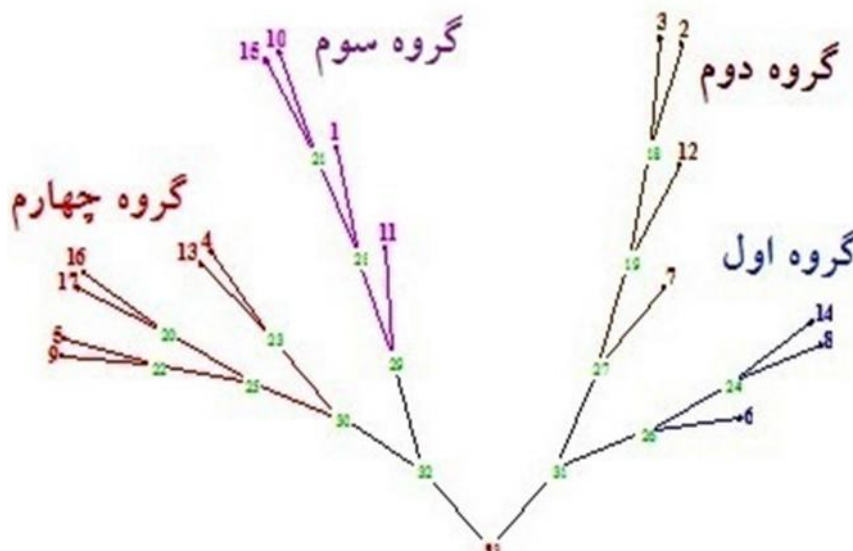
شکل دو ارائه شده است که در آن اکوتیپ‌ها در چهار گروه قرار گرفتند. گروه اول شامل اکوتیپ‌های G۸ (دالاهو-هووه رو)، G۱۴ (گیلان غرب-دشت دیره) و G۶ (سرپل-ماراب) بود. متوسط ضریب تشابه برای اکوتیپ‌های این گروه ۰/۶۲۶ بود. اکوتیپ‌های G۷ (گیلان غرب-سه راهی ایلام)، G۱۲ (صحنه-کلکان نسار)، G۲ (سرپل-گنجوره) و G۳ (سومار-سد گنگیر) گروه دوم بود، که متوسط ضریب تشابه برای این سه اکوتیپ ۰/۶۸۹ بودست آمد. گروه سوم شامل چهار اکوتیپ (G۱۰ (نفت شهر-گندم بان)، G۱۵ (اسلام آباد-هفت آشیان)، G۱ (صحنه-مله نمازگاه) و G۱۱ (دالاهو-ناوتگ)) بود. متوسط ضریب تشابه این گروه ۰/۵۵۵ بود. گروه چهارم شامل اکوتیپ‌های G۴ (روانسر-ویس)، G۱۳ (ثلاث-ازگله)، G۱۶ (روانسر-خرجیان)، G۱۷ (ثلاث-مله سیاه طاهر)، G۵ (سرپل-ارتفاعات دالاهو) (تازه آباد) و G۹ (دالاهو-مله گهواره (سه راه)) بود و میانگین تشابه برای این گروه ۰/۵۹۸ بود. بنابراین اکوتیپ‌های گروه دوم دارای بیشترین تشابه و اکوتیپ‌های گروه سوم دارای کمترین تشابه بودند.

ماتریس تشابه

تشابه ژنتیکی اکوتیپ‌های مورد بررسی با استفاده از ضریب تشابه دایس از ۰/۱۸۷ تا ۰/۷۷۷ متغیر بود (جدول ۴)، میانگین تشابه بین اکوتیپ‌ها برابر ۰/۵۰۵ بود که پایین بودن تشابه ژنتیکی نشان‌دهنده تنوع ژنتیکی بالا در بین اکوتیپ‌های مریم نخودی بر اساس آغازگرهای مورد بررسی می‌باشد. بیشترین تشابه را اکوتیپ G۳ (سومار-سد گنگیر) با اکوتیپ G۲ (سرپل-گنجوره) با ضریب ۰/۷۷۷ و اکوتیپ G۲ (سرپل-گنجوره) با G۱۲ (صحنه-کلکان نسار) با ضریب ۰/۷۷۰ داشتند. کمترین تشابه و بیشترین فاصله مربوط به اکوتیپ G۱ (صحنه-مله نمازگاه) با اکوتیپ‌های G۱۲ (صحنه-کلکان نسار)، G۷ (گیلان غرب-سه راهی ایلام)، G۱۳ (ثلاث-ازگله) و G۸ (ثلاث-ازگله) و (دالاهو-هووه رو) به ترتیب با ضرایب تشابه ۰/۱۸۷، ۰/۲۴۵، ۰/۲۷۷ و ۰/۲۸۵ بود.

تجزیه خوشه‌ای

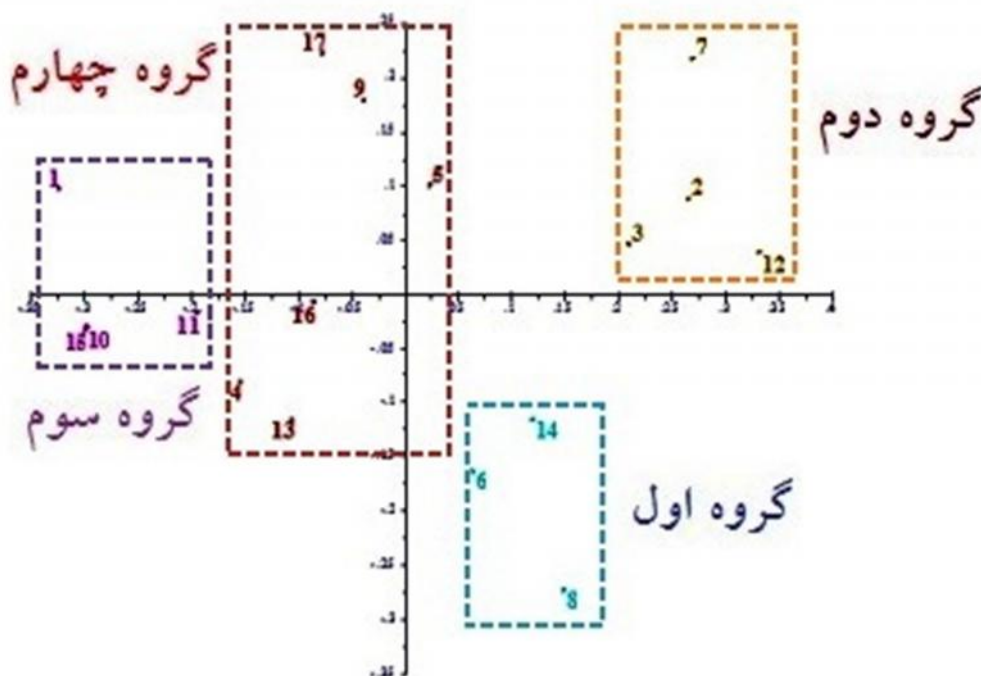
نمودار درختی حاصل از تجزیه خوشه‌ای به روش UPGMA بر اساس ضریب تشابه دایس برای اکوتیپ‌ها در



شکل ۲- نمودار درختی حاصل از تجزیه خوشه‌ای داده‌های نشانگر ISSR برای اکوتیپ‌های UPGMA مورد مطالعه با استفاده از ضریب دایس و روش

G(اسلام آباد-هفت آشیان)، G۱ (صحنه-مله نمازگاه) و G۱۱ (دلاهو-ناوتگ) هم در یک گروه قرار داشتند. همچنین اکوتیپ‌های G۸ (دلاهو-هوه رو)، G۱۴ (گیلان غرب-دشت دیره) و G۶ (سرپل-ماراب) با تشابه بالا در یک گروه قرار داشتند و اکوتیپ‌های G۴ (روانسر-ویس)، G۱۷ (ثلاث-ازگله)، G۱۶ (روانسر-خرابیان)، G۱۳ (ثلاث-مله سیاه طاهر)، G۵ (سرپل-ارتفاعات دلاهو (تازه آباد) و G۹ (دلاهو-مله گهواره (سه راه)) در گروه چهارم قرار گرفتند.

تجزیه به مختصات اصلی (PCo) بر اساس داده‌های حاصل از آغازگرهای مورد بررسی، تجزیه به مختصات اصلی برای اکوتیپ‌ها انجام شد، که بر اساس مختصات اول و دوم دیاگرام پراکنشی اکوتیپ‌ها رسم گردید (شکل ۳). این دیاگرام با نتایج تجزیه خوشای کاملاً مطابقت داشت و اکوتیپ‌ها به چهار گروه تقسیم شدند. با توجه به نمودار، اکوتیپ‌های G۷ (گیلان غرب-سه راهی ایلام)، G۱۲ (صحنه-کلکان نسار)، G۲ (سرپل-گنجوره) و G۳ (سومار-سد گنگیر) با بیشترین تشابه در یک گروه قرار داشتند و اکوتیپ‌های G۱۰ (نفت شهر-گندم بان)، ۱۵



شکل ۳- بای پلات اکوتیپ‌ها برای نشانگر ISSR بر اساس محور مختصات اصلی اول و دوم

جدول ۴- ماتریس تشابه اکوتیپ‌ها برای پرایمرهای ISSR استفاده شده بر اساس ضریب دایس

روانسر	اسلام آباد	گیلان غرب	ثلاث	صحنه	دالاهو	نفت شهر	دالاهو	گیلان غرب	سریل	روانسر	سومار	سریل	صحنه	اکوتیپ		
سریل	۰/۳۲۸															
سومار	۰/۳۸۰	۰/۷۷۷														
روانسر	۰/۴۸۴	۰/۳۸۴	۰/۴۷۰													
سریل	۰/۳۸۷	۰/۶۳۵	۰/۷۴۲	۰/۵۳۷												
سریل	۰/۳۷۲	۰/۴۷۷	۰/۵۸۹	۰/۶۲۵	۰/۶۲۳											
گیلان غرب	۰/۲۴۵	۰/۶۲۷	۰/۶۰۸	۰/۴۱۹	۰/۶۳۷	۰/۴۷۲										
دالاهو	۰/۲۸۵	۰/۵۲۸	۰/۵۴۵	۰/۴۲۵	۰/۵۰۰	۰/۶۳۱	۰/۳۰۹									
دالاهو	۰/۴۵۸	۰/۵۳۷	۰/۵۷۸	۰/۵۶۶	۰/۷۰۷	۰/۵۳۹	۰/۵۴۵۴	۰/۳۸۷								
نفت شهر	۰/۵۱۶	۰/۳۶۸	۰/۴۲۴	۰/۵۵۵	۰/۴۹۲	۰/۴۲۴	۰/۳۰۰	۰/۳۵۵	۰/۵۰۹							
دالاهو	۰/۴۱۸	۰/۴۷۷	۰/۴۶۱	۰/۵۰۰	۰/۴۶۷	۰/۴۸۲	۰/۴۱۶	۰/۳۸۵	۰/۴۴۴	۰/۵۲۱						
صحنه	۰/۱۸۷	۰/۷۷۰	۰/۷۲۷	۰/۳۷۶	۰/۶۱۲	۰/۵۳۱	۰/۶۲۳	۰/۶۴۱	۰/۴۲۸	۰/۲۶۸	۰/۴۵۵					
ثلاث	۰/۲۷۷	۰/۳۹۵	۰/۳۹۴	۰/۶۸۲	۰/۴۸۵	۰/۵۴۹	۰/۴۳۰	۰/۴۴۰	۰/۵۰۰	۰/۴۶۱	۰/۴۷۰	۰/۳۶۱				
گیلان غرب	۰/۳۵۷	۰/۶۹۳	۰/۷۰۳	۰/۵۲۴	۰/۶۶۶	۰/۵۹۱	۰/۴۲۳	۰/۶۰۷	۰/۵۷۸	۰/۵۰۸	۰/۵۰۷	۰/۶۰۲	۰/۴۳۷			
اسلام آباد	۰/۶۱۱	۰/۳۹۵	۰/۴۵۰	۰/۶۳۴	۰/۵۴۲	۰/۴۷۰	۰/۳۰۷	۰/۴۰۰	۰/۵۳۵	۰/۷۱۷	۰/۵۴۹	۰/۳۰۵	۰/۵۹۰	۰/۵۰۰		
روانسر	۰/۴۴۴	۰/۴۴۴	۰/۵۰۷	۰/۶۳۴	۰/۶۲۸	۰/۵۰۹	۰/۳۳۸	۰/۴۴۰	۰/۶۰۷	۰/۷۱۷	۰/۵۸۸	۰/۳۸۸	۰/۵۴۵	۰/۵۹۳	۰/۶۸۱	
ثلاث	۰/۴۶۸	۰/۵۴۳	۰/۵۱۲	۰/۴۶۱	۰/۶۶۶	۰/۴۸۳	۰/۴۷۳	۰/۲۲۷	۰/۷۱۶	۰/۴۸۰	۰/۵۱۶	۰/۴۵۷	۰/۵۰۹	۰/۵۰۶	۰/۵۸۱	۰/۷۲۷

به عبارت دیگر گروه‌بندی به صورت صحیح انجام شد. نتایج به دست آمده نشان داد که در میان گروه‌ها تنوع بیشتر از بین گروه‌ها می‌باشد. بر این اساس تنوع در درون گروه‌ها برابر ۷۱٪ و در بین گروه‌ها تنوع برابر ۲۹٪ مشاهده شد.

تجزیه واریانس مولکولی (AMOVA) تجزیه واریانس مولکولی بر اساس گروه‌بندی تجزیه خوش‌های انجام شد (جدول ۵)، به طوری که اکوتیپ‌ها در داخل ۴ گروه قرار گرفتند. بر اساس آماره PhiPT در بین گروه‌ها در سطح ۱٪ اختلاف معنی‌دار وجود داشت،

جدول ۵- تجزیه واریانس مولکولی بر اساس نشانگر ISSR

متابع تغییر	DF	مجموع مربعات	میانگین مربعات	واریانس برآورده شده	درصد از واریانس	PhiPT
بین گروه	۳	۹۸/۷۰	۳۲/۹۰	۵/۰۰۲	٪۲۹	٪۰/۲۹۱**
درون گروه	۱۳	۱۵۷/۴۲	۱۲/۱۰	۱۲/۱۰۹	٪۷۱	
کل	۱۶	۲۶۶/۱۲	۱۷/۱۱۱	۱۷/۱۱۱	٪۱۰۰	

** اختلاف در سطح ۱٪ معنی‌دار

ژنتیپ‌های با خویشاوندی نزدیک مفید هستند (Thimmappaiah *et al.*, 2008). بهترین شاخص برای انتخاب آغازگر مناسب، شاخص قدرت تفکیک (RP) می‌باشد، زیرا هم از تعداد افراد دارای باند و هم از تعداد آلل تأثیرپذیری دارد (Altintas *et al.*, 2008).

در حالت کلی و بر اساس شاخص‌های محتوای اطلاعات چند شکلی (PIC) و شاخص قدرت تفکیک (RP) مناسب‌ترین آغازگرها برای بررسی‌های گونه مریم نخودی، آغازگرهاIS₁₂ IS₇ IS₅ IS₃ IS₆ IS₁ تعیین شد، و پیشنهاد می‌گردد برای آنالیز مجموعه ژرم‌پلاسم دیگر اکوتیپ‌های مریم نخودی در تحقیقات بعدی استفاده شوند. در بررسی روابط ژنتیکی برخی از گونه‌های مختلف نعناع با استفاده از نشانگر ISSR بر اساس شاخص‌های قدرت تفکیک (RP) و محتوای اطلاعات چند شکلی (PIC) آغازگرهای برتر برای آنالیز ژرم‌پلاسم نعناع معرفی شد (Zinodini *et al.*, 2013). میانگین تشابه بین اکوتیپ‌ها برابر ۰/۵۰۵ بود. البته پایین بودن تشابه ژنتیکی نشان‌دهنده تنوع ژنتیکی بالا در بین اکوتیپ‌های مریم نخودی بر اساس آغازگرهای مورد بررسی می‌باشد. بر اساس تجزیه خوش‌های اکوتیپ‌ها در چهار گروه قرار گرفتند، که پراکنش اکوتیپ‌ها بر اساس تنوع ژنتیکی با تنوع جغرافیایی تطابق نداشت. نتایج حاصل از تجزیه

بحث

در این تحقیق مشخص شد که با استفاده از تکنیک ISSR می‌توان در زمان کم، الگوی ژنتیکی اکوتیپ‌های مریم نخودی را نسبت به همیگر مشخص کرد. با استفاده از آغازگرها ISSR تنوع قابل ملاحظه و چند شکلی مطلوبی در بین اکوتیپ‌های مریم نخودی مشاهده شد. در مطالعات بسیاری گزارش شده که نشانگر ISSR به دلیل خصوصیاتی مانند تکرارپذیری بالا، عدم نیاز به دانستن توالی برای یافتن آغازگر و عدم نیاز به دانستن اطلاعات اولیه در مورد توالی ژنوم یکی از گزینه‌های مناسب به منظور بررسی تنوع ژنتیکی می‌باشد (Zietkiewicz *et al.*, 1994). در بررسی ساختار و مقایسه تنوع ژنتیکی ۷۷ بوته از ۸ توده مختلف گیاه دارویی کلپوره (مریم نخودی) با استفاده از ۱۸ آغازگر ISSR مکان قابل امتیازبندی مشاهده شد که از این تعداد ۱۸۴ مکان چند شکل بودند (Noruzi Gharatape *et al.*, 2012). محتوای اطلاعات چند شکلی (PIC)، یکی از شاخص‌های مهم برای مقایسه نشانگرها مختلف، از نظر قدرت تمایز آنها به شمار می‌رود. مقادیر بالای این معیار، دلالت بر چندشکلی زیاد در یک جایگاه نشانگری دارد که در تفکیک و تمایز افراد نقش بهسزایی دارد. بنابراین، نشانگرها می‌باشند که این نتایج می‌توانند اطلاعات چند شکلی (PIC) بالا برای تمایز

بر اساس نشانگرهای مورد استفاده را داشتند در جهت استفاده از حداکثر هتروزیس در برنامه‌های اصلاحی استفاده شود. در بررسی Pesaraklu و همکاران (۲۰۱۳) تنوع ژنتیکی برخی از جمعیت‌های کلپوره (*Teucrium polium*) ارزیابی شد ایران با استفاده از نشانگرهای مولکولی RAPD ارزیابی شد که تنوع مطلوبی در بین جمعیت‌های مورد بررسی مشاهد شد، و گزارش کردند که نشانگر RAPD کارایی بالایی در تفکیک کردن جمعیت‌ها از یکدیگر دارد، به صورتی که تنوع ژنتیکی با تنوع جغرافیایی تا حدودی تطابق داشت.

سپاسگزاری

این پژوهش با حمایت مالی دانشگاه پیام نور انجام شده است که از این بابت از مسئولان مربوطه تشکر و قدردانی می‌شود. در ضمن کلیه حقوق مادی و معنوی آن متعلق به دانشگاه پیام نور می‌باشد.

منابع مورد استفاده:

- Altintas, S., Toklu, F., Kafkas, S., Kilian, B., Brandolini, A. and Zkan, H.O. 2008. Estimating Genetic Diversity in durum and bread wheat cultivars from Turkey Using AFLP and SAMPL markers. *Plant Breeding*, 127: 9-14.
- Archak, S., Gaikwad, A.B., Gautam, D., Rao, E.V.V.B., Swamy, K.R. M. and Karihaloo, J. L., 2003. Comparative assessment of DNA fingerprinting techniques (RAPD, ISSR and AFLP) for genetic analysis of cashew accession in India. *Genome*, 46: 362-369.
- Chawla, H S., 2000. Introduction to Plant Biotechnology. Science Publishers Inc. USA.
- Excoffier, L., Smouse, P. E. and Quattro, J. M., 1992. Analysis of molecular variance inferred from metric distance among DNA haplotypes: application to human mitochondrial DNA restriction data. *Genetics*, 131: 479-791.
- Hou, Y., Yan, Z. and Wei, Y., 2005. Genetic diversity in barely from west China based on RAPD and ISSR analysis barely. *Genetics Newsletter*, 35:9-22.
- Kumar, M., Mishra, G P., Singh, R., Kumar, J., Naik, P. K. and Singh, Sh. B., 2009. Correspondence of ISSR and RAPD markers for comparative analysis of genetic diversity among different apricot genotypes from cold arid deserts

خوشه‌ای با دیاگرام حاصل از پرائنس اکوتیپ‌ها بر اساس مقدار مختصات اول و دوم حاصل از تجزیه به مختصات اصلی مطابقت نشان داد. از تجزیه به مختصات اصلی به عنوان روشنی مکمل برای تجزیه خوشه‌ای استفاده می‌شود و به استفاده بهینه و استخراج حداکثر اطلاعات از داده‌های مولکولی منجر می‌شود. در مطالعه ۸ جمعیت از گونه *ISSR Teucrium polium* با استفاده از نشانگر مولکولی توسط سایر محققان تنوع بالایی بر اساس آغازگرهای مورد بررسی مشاهده و از تجزیه خوشه‌ای برای گروه‌بندی جمعیت‌ها استفاده شد (Tabtib, 2014).

بر اساس تجزیه واریانس مولکولی گروه‌های حاصل از تجزیه خوشه‌ای، مشاهده شد که واریانس بین گروه‌ها در سطح ۱٪ معنی‌دار بود، اما بر اساس واریانس برآورد شده سهم واریانس بین گروه‌ها تنها ۲۹٪ از تنوع کل بود. از کاربردهای تجزیه واریانس مولکولی می‌توان به تعیین تفاوت ژنتیکی بین جمعیت‌ها و تعیین حد مطلوب خوشه در تجزیه خوشه‌ای اشاره کرد، به این صورت که در هر گروه در نقطه برش دندروگرام به عنوان یک جمعیت و ژنتیپ‌های درون آن به عنوان افراد جمعیت در نظر گرفته می‌شود و برای هر نقطه برش یک تجزیه واریانس انجام می‌شود، البته نقطه‌ای که بیشترین تمايز بین گروه‌ها به وجود آید، به عنوان نقطه مناسب برش دندروگرام انتخاب خواهد شد (Excoffier et al., 1992). در مطالعه Tabtib (۲۰۱۴) بر روی ۸ جمعیت مربی نخودی نتایج تجزیه واریانس مولکولی نشان داد که تنوع در درون جمعیت‌ها بیشتر از بین جمعیت‌ها می‌باشد، بصورتی که تنوع در درون جمعیت‌ها برابر ۷۷٪ و در بین جمعیت‌ها برابر ۲۳٪ گزارش شد.

در مجموع بر اساس آغازگرهای مورد استفاده و با توجه به ماتریس تشابه، در تجزیه خوشه‌ای و تجزیه به مختصات اصلی کمترین تشابه و بیشترین فاصله مربوط به اکوتیپ G1 (صحنه- مله نمازگاه) با اکوتیپ‌های G12 (صحنه- کلکان نسار)، G7 (گیلان غرب- سه راهی ایلام)، G13 (ثلاث- ازگله) و G8 (دلاهو- هووه رو) بود؛ که پیشنهاد می‌شود از این اکوتیپ‌ها که حداکثر فاصله ژنتیکی

- marianum* L.). Iranian Journal of Medicinal and Aromatic Plants, 24(3): 278-292.
- Sicard, D., Nanni, L., Porfiri, O., Bulfon, D., and Papa, R. 2005. Genetic diversity of *Phaseolus vulgaris* L. and *P. coccineus* L. landraces in central Italy. Plant Breeding, 124 (5): 464–472.
 - Surve-Iyer, R. S., Adams, G. C., Lezzon, A. F. and Jones, A. L., 1995. Isozyme detection and variation in *Ieucostoma* species from prunus and malus. Mycologia, 87: 471- 482.
 - Tabtib, B., 2014. Assessment of genetic differentiation of two Mediterranean subspecies of *Teucrium*. Bulletin of the Georgian National Academy of Sciences, 8(1):72-76.
 - Terzopoulos, P.J. and, Bebeli, P.J., 2008. Genetic diversity analysis of Mediterranean faba bean (*Vicia faba* L.) with ISSR markers. Field Crops Research, 108:39-44.
 - Thimmappaiah, W., Santhosh, G., Shobha, D. and Melwyn, G.S., 2008. Assessment of genetic diversity in cashew germplasm using RAPD and ISSR markers. Sciatica Horticulture, 118: 1-7.
 - Torres, A.M., Weeden, N.F. and Martin, A., 1993. Linkage among isozyme, RFLP and RAPD markers in *Vicia faba*. Theoretical and Applied Genetics, 85: 935–945.
 - Zietkiewicz, E., Rafalski, A. and Labuda, D., 1994. Genome fingerprinting by simple sequence repeat (SSR)-anchored polymerase reaction amplification. Genomics, 20: 176-183.
 - Zinodini, A., Farshadfar, M., Safari, H., Moradi, F. and Shirvani, H., 2013. Study of genetic relationships of some mint species using ISSR markers. Crop Biotechnology, 5: 11-21 (In Persian).
 - of Trans-Himalayas. Physiology and Molecular Biology of Plants, 15(3): 225-236.
 - Mohammadi, S. A. and Prasanna, B. M., 2003. Analysis of genetic diversity in crop plant: Salient statistical tools and considerations. Crop Science, 43: 1235-1248.
 - Noruzi Gharatape, R., Bernusi, I., Moghadam, A F., Abdollahi Mandulakani. B. and Jafari, M., 2012. Assessment of genetic diversity in different masses of medicinal plant *Teucrium polium* using ISSR markers. The 12th Iranian Genetics Congress, Tehran, Iran (In Persian).
 - Pacifico, S., D'Abrosca, B., Scognamiglio, M., D'Angelo, G., Gallicchio, M., Galasso, S., Monaco, P. and Fiorentino, A., 2012. NMR-based metabolic profiling and *in vitro* antioxidant and hepatotoxic assessment of partially purified fractions from golden germander (*Teucrium polium* L.) methanolic extract. Food Chem. Dec. 1; 135(3):1957-67.
 - Pesaraklu, A., Mianabadi, M., Bagherieh Najjar, MB., Sattarian, A. and Baghizadeh, A., 2013. Genetic diversity of different populations of Iranian *Teucrium polium* L. using RAPD markers. Iranian Journal of Rangelands and Forests Plant Breeding and Genetic Research, 21(1): 24-36 (In Persian).
 - Powell, W., Morgante, M., Andre, C., Hanafey, M., Vogel, J., Tingey, S. and Rafalski, A., 1996. The comparison of RFLP, RAPD, AFLP and SSR (microsatellite) markers for germplasm analysis. Molecular Breeding, 2: 225-238.
 - Shokrpour, M., Mohamadi, S.A., Moghadam, M., Ziai S. A. and Javanshir, A., 2008. Analysis if morphologic association, phytochemical and AFLP markers in milk thistle (*Silybum*

Genetic variability of *Teucrium polium* ecotypes using ISSR molecular markers

S. Esfandyari¹, M. Farshadfar^{2*}, H. Safari³, H. Shirvani⁴ and S. Esfandyari⁵

1- M.Sc. Islamic Azad University, Kermanshah, I.R. Iran

2- Associate Professor, Department of Agriculture, Payame Noor University, I.R. Iran. Email: farshadfarmohsen@yahoo.com

3,5- Faculty member of Research Department of Forests and Rangelands, Kermanshah Agricultural and Natural Resources Research and Education Center. I.R. Iran

4- Department of Agriculture, Payame Noor University, I.R. Iran

Received: 21.05.2016

Accepted: 22.10.20116

Abstract:

Golden germander (*Teucrium polium* L.) is an important medicinal plant of the Labiateae family. Genetic variability was studied on 17 ecotypes of *Teucrium polium* collected from Kermanshah, Iran, based on ISSR molecular markers. Twelve ISSR primers out of 15 primers could be scored. ISSR primers produced 82 bands, of which polymorphism was observed on 80 bands. Average number of bands was 6.83 for each primer. Primer IS₆ showed the highest number of bands (12 bands) and IS₃ showed the lowest number of bands (4 bands). The results indicated that ecotype G1 had the most genetic distance with G12, G7, G13 and G8. Based on cluster analysis the ecotypes were grouped into four clusters. Genetic diversity of ecotypes did not match with the geographical diversity of the ecotypes. Also results of grouping by analysis of molecular variance (AMOVA) and coordinate analysis (PCo) were confirmed.

Key words: Analysis of molecular variance, coordinate analysis, cluster analysis, *Teucrium polium*